

4.2 Interacción de fotones

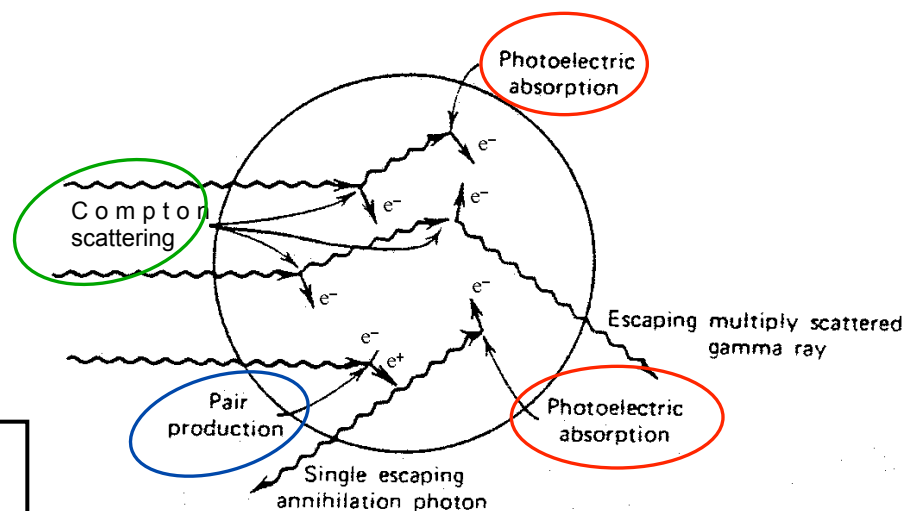
Generalidades

- El **comportamiento de los fotones** al atravesar la materia es completamente distinto al de las partículas cargadas. Las principales interacciones de los rayos **X** y **γ** son:

- ↗ **Efecto fotoeléctrico**
- ↗ **Difusión Compton**
- ↗ **Producción de pares**

- La radiación X y γ es mucho más penetrante y la sección eficaz es mucho menor que la correspondiente a colisiones inelásticas de electrones.

- Un haz de fotones no pierde energía al atravesar la materia: **se atenúa en intensidad y los fotones desaparece del haz → Absorción y difusión**



La atenuación de un haz de fotones al atravesar un espesor **x** , sigue la ley exponencial:

$$I(x) = I_0 \exp(-\mu x) \longrightarrow \text{Recorrido libre medio}$$

donde **I_0** : intensidad del haz incidente, **μ** : coeficiente de absorción.

El coeficiente de absorción lineal se puede dar en longitud reducida (g cm^{-2}).

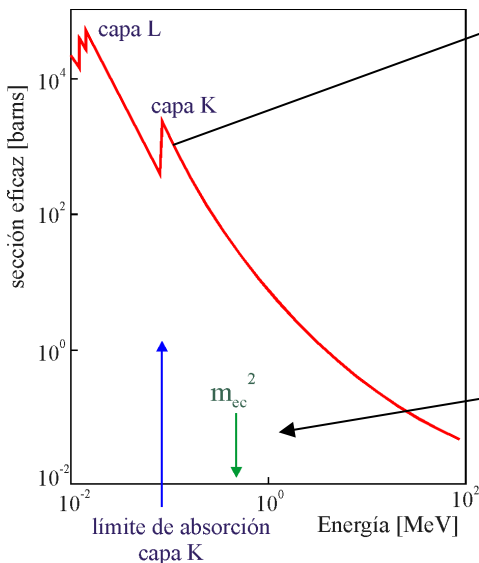
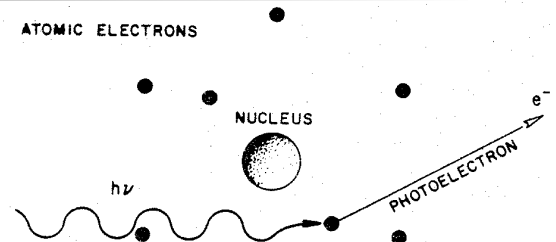
Calorimetría

Interacción de fotones

Efecto fotoeléctrico

- Un electrón atómico absorbe un fotón y abandona el átomo con una energía: $E = h\nu - B_e$ (B_e = energía de ligadura del electrón)

El proceso sólo puede tener lugar con electrones ligados
"Conservación de la cantidad de movimiento"



Sección eficaz del efecto fotoeléctrico para plomo.

- La sección eficaz aumenta para energías próximas a las distintas capas: K, L, M
- Para $h\nu > E_k$ son fundamentalmente los electrones de la capa K los que contribuyen.
- Aunque es difícil llevar a cabo un tratamiento teórico riguroso a causa de las funciones de onda de Dirac de los electrones atómicos, la sección eficaz, por átomo, se puede obtener utilizando una aproximación de Born, bajo las siguientes hipótesis:

- ✓ sólo contribuyen electrones de capa K
- ✓ $h\nu \ll m_e c^2$

$$\Phi_{ph} = 4\alpha^4 \sqrt{2} Z^5 \phi_0 (m_e c^2 / h\nu)^{7/2}$$

donde $\phi_0 = 8\pi r_e^2 / 3 = 6.651 \times 10^{-25} \text{ cm}^2$, $\alpha = 1/137$

$$\left\{ \begin{array}{l} \Phi_{ph} = \phi_0 \frac{2^7 \pi (137)^3}{Z^2} \left[\frac{v_k}{v} \right]^4 \frac{\exp(-4\xi \cot^{-1} \xi)}{1 - \exp(-2\pi\xi)} \\ h\nu_k = (Z - 0.03)^2 m_e c^2 \alpha^2 / 2, \quad \xi = \sqrt{v_k / (v - v_k)} \end{array} \right.$$

- Para energías $h\nu \approx E_k$
- Cuando: $v \approx v_k \Rightarrow \xi^{-1} \gg 1 \rightarrow \Phi_{ph} = \phi_0 \frac{6.3 \times 10^{-18}}{Z^2} \left(\frac{v_k}{v} \right)^{8/3}$ (la expresión se simplifica)

- ✓ Se observa la **dependencia de la sección eficaz con la Z del material**, para energías $h\nu \approx \text{MeV}$ la dependencia llega hasta la cuarta y quinta potencia. **→ La mayor absorción se produce en materiales de alto Z (ver transparencia siguiente).** Por ejemplo, detectores de radiación como el INa.

Calorimetría

Características

- El efecto fotoeléctrico muestra fuerte modulación con las energías de las capas atómicas (ver figura anterior donde la sección eficaz aumenta cerca de las capas)
- La sección eficaz de la capa K, para altas energías ($\varepsilon = E/m_e c^2 \gg 1$):

$$\sigma_{\text{foto}}^K = 4\pi r_e^2 \alpha^2 Z^5 \frac{1}{\varepsilon} \rightarrow \sigma_{\text{foto}} \propto Z^5$$

$$\rightarrow \sigma_{\text{foto}} \propto \frac{1}{\varepsilon}$$

Que exhibe su fuerte dependencia en Z y su decrecimiento con la energía

Interacción de fotones

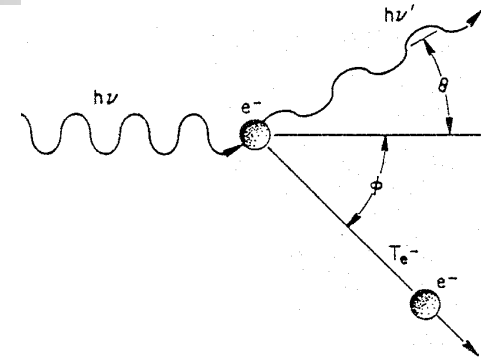
Difusión Compton

Se trata de la **difusión de fotones por electrones casi libres**.

Las expresiones se obtienen a partir de la conservación de la energía y de la cantidad de movimiento. De acuerdo con el esquema:

$$\left\{ \begin{array}{l} hv' = \frac{hv}{1 + \gamma(1 - \cos\theta)}, \quad \gamma = \frac{hv}{m_e c^2} \\ T = hv - hv' = hv \frac{\gamma(1 - \cos\theta)}{1 + \gamma(1 - \cos\theta)} \end{array} \right. \quad \left\{ \begin{array}{l} \cos\theta = 1 - \frac{2}{(1 + \gamma^2)tg^2\varphi + 1} \\ \cot\varphi = (1 + \gamma)tg\theta/2 \end{array} \right.$$

El corrimiento en la longitud de onda del fotón es: $\Delta\lambda = \lambda - \lambda_0 = \frac{hc}{m_e c^2}(1 - \cos\theta)$



La sección eficaz de la difusión Compton fue calculada por **Klein y Nishina** utilizando la electrodinámica cuántica

$$\frac{d\sigma}{d\Omega} = \frac{r_e^2}{2} \frac{1}{[1 + \gamma(1 - \cos\theta)]^2} \left(1 + \cos^2\theta + \frac{\gamma^2(1 - \cos\theta)^2}{1 + \gamma(1 - \cos\theta)} \right)$$

Integrando para $d\Omega$ se se obtiene la probabilidad total de difusión Compton por electrón, o sección eficaz total

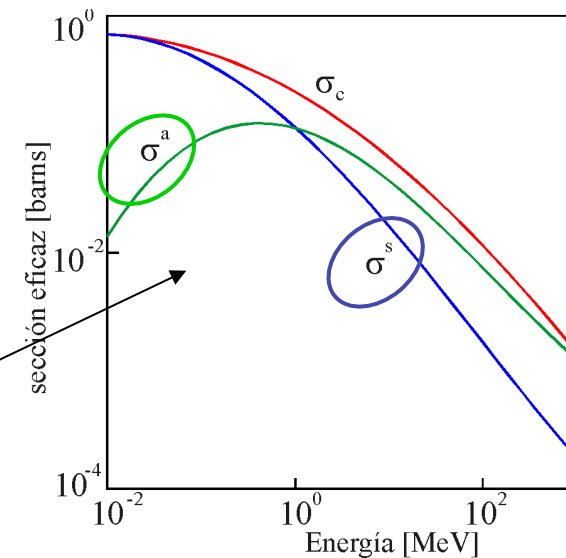
$$\sigma_c = 2\pi r_e^2 \left\{ \frac{1 + \gamma}{\gamma^2} \left[\frac{2(1 + \gamma)}{1 + 2\gamma} - \frac{1}{\gamma} \ln(1 + 2\gamma) \right] + \frac{1}{2\gamma} \ln(1 + 2\gamma) - \frac{1 + 3\gamma}{(1 + 2\gamma)^2} \right\}$$

La sección eficaz total tiene dos contribuciones: $\sigma_c = \sigma^s + \sigma^a$

✓ Difusión: fracción de energía del fotón difundido $\rightarrow \frac{d\sigma^s}{d\Omega} = \frac{hv'}{hv} \frac{d\sigma}{d\Omega}$

✓ Absorción: energía transferida al electrón y que es absorbida por el

material $\rightarrow \sigma^a = \sigma_c - \sigma^s$



Sección eficaz total Compton

Interacción de fotones

Difusión Compton

La distribución de energías del electrón es:

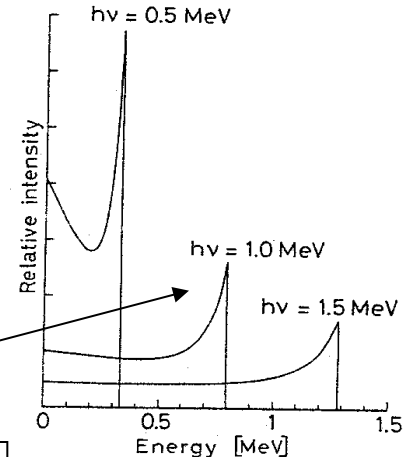
$$\frac{d\sigma}{dT} = \frac{\pi r_e^2}{m_e c^2 \gamma^2} \left[2 + \frac{s^2}{\gamma^2 (1-s)^2} + \frac{s}{1-s} \left(s - \frac{2}{\gamma} \right) \right]$$

donde $s = T/h\nu$

La máxima energía de retroceso que puede adquirir el electrón:

$$T_{\max} = h\nu \left(\frac{2\gamma}{1+2\gamma} \right)$$

Valor que se conoce como límite Compton o "Compton edge"



• La sección eficaz Compton **decrece** con la energía como:

$$\sigma_c^e \propto \frac{\ln \varepsilon}{\varepsilon} \quad \text{siendo} \quad \varepsilon = \frac{E_\gamma}{m_e c^2}$$

• La sección eficaz Compton atómica (electrones cuasi libres) es:

$$\sigma_c^{\text{atom}} = Z \sigma_c$$

Interacción de fotones

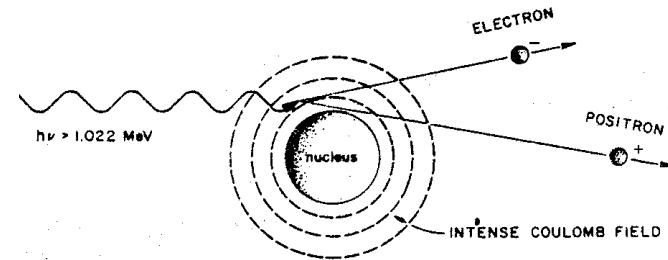
Producción de pares

- El fenómeno consiste en la materialización de un fotón en un electrón y un positrón $\rightarrow \gamma \rightarrow e^- e^+$

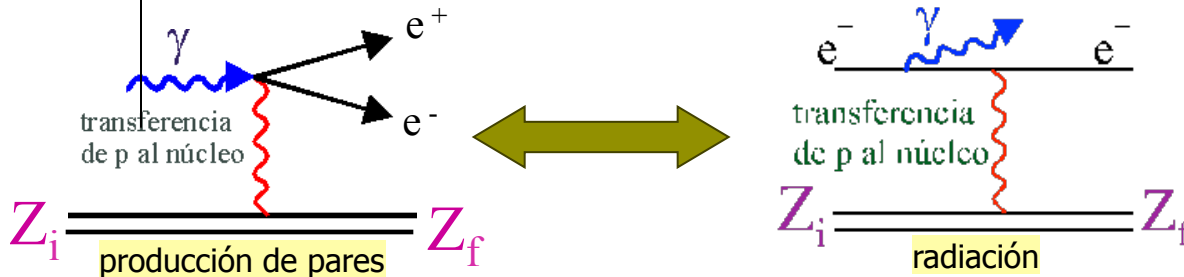
Por conservación de la cantidad de movimiento, el proceso ha de tener lugar en presencia de un tercer cuerpo: el núcleo. Para que la materialización pueda producirse:

$$E_\gamma \geq 2m_e c^2 = 1.022 \text{ MeV}$$

Umbral de producción



- El proceso de producción de pares es cinemáticamente equivalente al de radiación por bremsstrahlung



Difusión en el campo eléctrico del núcleo con emisión de radiación electromagnética: $e^- \rightarrow e^- \gamma$

- La sección eficaz de producción de pares dependerá del apantallamiento del núcleo por los electrones atómicos. El parámetro ξ es ahora:

$$\xi = \frac{100m_e c^2 h\nu}{E_+ E_- Z^{1/3}}$$

- E_+ y E_- : energías totales del positrón y del electrón.
- $h\nu$ es la energía del fotón incidente.
- $\xi \approx 0 \rightarrow$ **apantallamiento total**.
- $\xi \gg 1 \rightarrow$ **no apantallamiento**.

comparar con el caso de radiación

$$\xi = \frac{100m_e c^2 h\nu}{E_0 E Z^{1/3}}$$

Calorimetría

Interacción de fotones

Producción de pares

■ Existen distintas aproximaciones a la sección eficaz.

↗ **Aproximación de Born:** válida a energías altamente relativistas. Considera cualquier tipo de apantallamiento. Las fórmulas que se obtienen por integración numérica en los límites son:

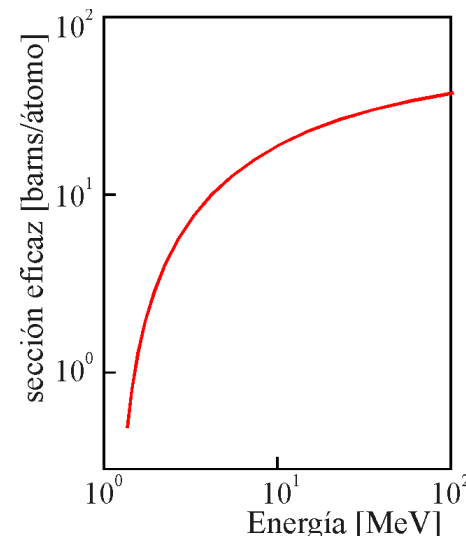
☞ No apantallamiento: $\xi \gg 1$, $m_e c^2 \ll E_\gamma \ll 137 m_e c^2 Z^{-1/3}$

$$\tau_{par} = 4Z^2 \alpha r_e^2 \left[\frac{7}{9} \left(\ln \frac{2h\nu}{m_e c^2} - f(Z) \right) - \frac{109}{54} \right]$$

☞ Apantallamiento total: $\xi \approx 0$, $E_\gamma \gg 137 m_e c^2 Z^{-1/3}$

$$\tau_{par} = 4Z^2 \alpha r_e^2 \left\{ \frac{7}{9} \left[\ln(183 Z^{1/3}) - f(Z) \right] - \frac{1}{54} \right\}$$

↗ **Aproximación de Bethe-Heitler:** mucho más complicada pero reproduce mejor la región de bajas energías.



Sección eficaz total de producción de pares

■ A partir de la sección eficaz total se define **el recorrido libre medio: λ_{par}**

$$1/\lambda_{par} = N\tau_{par} \approx (7/9) 4Z(Z+1) N r_e^2 \alpha \left[\ln(183 Z^{-1/3}) - f(Z) \right]$$

(N: densidad de átomos)

☞ Si comparamos con la longitud de radiación $\frac{1}{L_{rad}} \approx \left[4Z(Z+1) \frac{\rho N_a}{A} \right] r_e^2 \alpha \left[\ln(183 Z^{-1/3}) - f(Z) \right]$ por bremsstrahlung

$$\lambda_{par} \approx (9/7) L_{rad} \Rightarrow \lambda_{par} \sim L_{rad}$$

Calorimetría

Interacción de fotones

Coeficiente de atenuación total. Absorción de fotones

- La probabilidad total de que un fotón interactúe con la materia viene dada por la suma:

$$\sigma = \sigma_{ph} + Z\sigma_c + \tau_{par}$$

- La **probabilidad de interacción por unidad de longitud**, se obtiene multiplicando por la densidad de átomos (N):

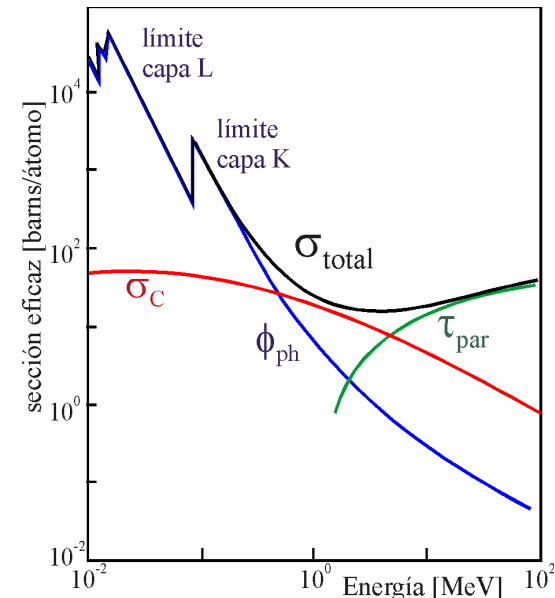
$$\mu = N\sigma = \sigma(N_a\rho/A)$$

- La cantidad μ es el **el coeficiente de absorción total** y es la inversa del recorrido libre medio $\rightarrow \mu = 1/\lambda$

- La **fracción de fotones que sobreviven** después de atravesar una distancia x en el material es:

$$I/I_0 = \exp(-\mu x)$$

- Para materiales compuestos: $\mu/\rho = \sum_i w_i (\mu_i/\rho_i)$

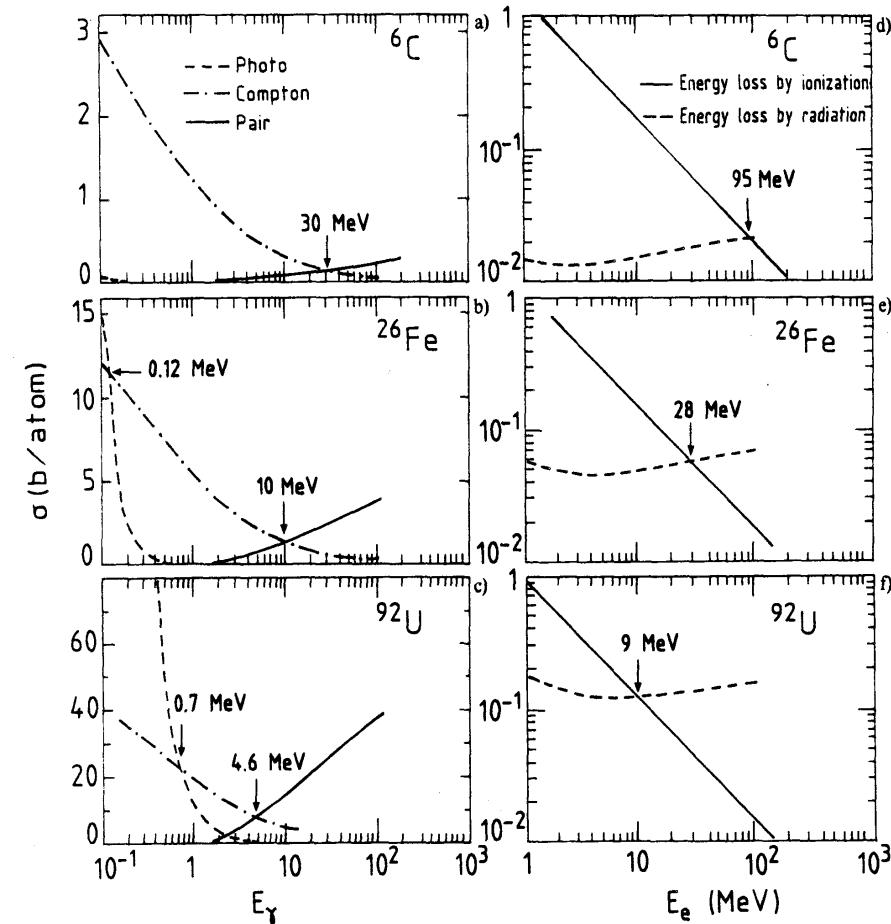


Sección eficaz total de absorción en plomo

a) Secciones eficaces para los procesos de pérdida de energía en la cascada electromagnética, sobre absorbentes típicos.

b) Pérdidas de energía por ionización y radiación en diferentes materiales. Energías críticas.

c) procesos dominantes en función de la energía del fotón y del número atómico del material

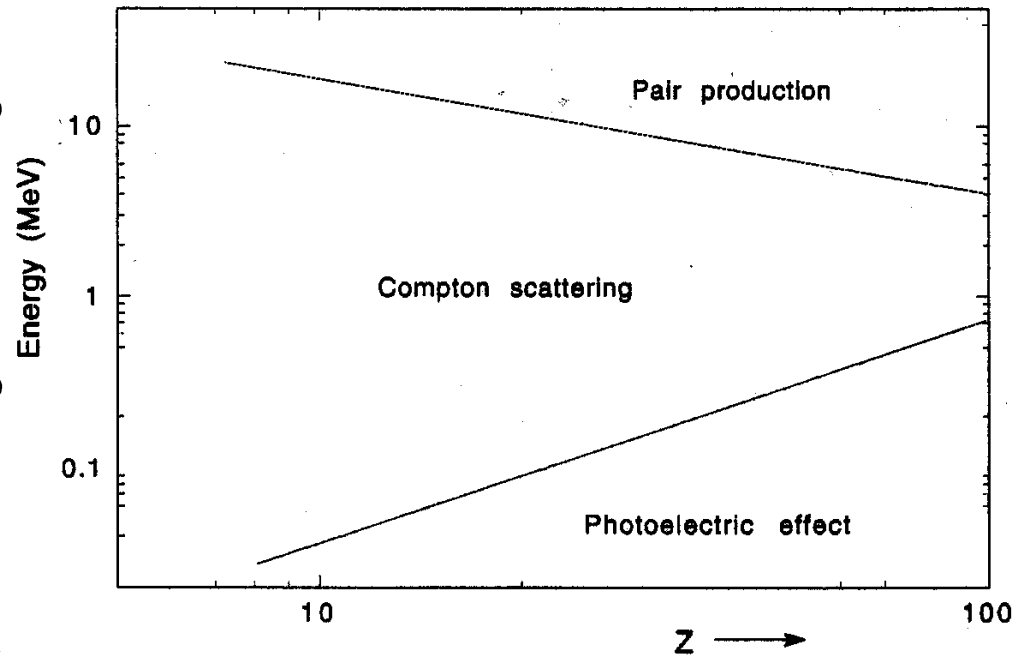


a) Sección eficaz de pérdida de energía de fotones. b) Pérdida de energía por Ionización y radiación. Energías

Criticas

Resumen de lo visto anteriormente:

- Efecto fotoeléctrico más probable a mayor Z
- Producción de pares a mayor E



c) Procesos dominantes en función de E y de Z

Calorimetría